

$G$  — определяется аналогичным образом.

Лит.: Ландау Л. Д., Лифшиц Е. М., Квантовая механика, 4 изд., М., 1989; и х ж е. Механика, 4 изд., М., 1988; Шифф Л., Квантовая механика, пер. с англ., 2 изд., М., 1959; Гантмахер Ф. Р., Лекции по аналитической механике, 2 изд., М., 1966; Ланцош К., Вариационные принципы механики, пер. с англ., М., 1965; Хараде Р. Т., Основы гамильтоновой механики, пер. с англ., М., 1974; Джеммэ Р. М., Эволюция понятий квантовой механики, пер. с англ., М., 1985. С. П. Алишев.

**ПУАССОНА УРАВНЕНИЕ** — неоднородное дифференц. ур-ние в частных производных

$$\Delta u(x) = -f(x),$$

где  $\Delta$  — Лапласа оператор,  $x = (x_1, \dots, x_n)$ . Краевые задачи для П. у. сводятся к соответствующим задачам Лапласа уравнения подстановкой

$$u = v + V,$$

где  $v$  удовлетворяет ур-нию Лапласа  $\Delta v = 0$ , а  $V$  — фундам. решение П. у. в области  $G$ :

$$V(x) = (2\pi)^{-1} \int_G dy \ln |x-y| f(y), \quad n=2$$

(логарифмич. потенциал);

$$V(x) = -[(n-2)\sigma_n]^{-1} \int_G dy |x-y|^{2-n} f(y), \quad n \geq 3$$

(ньютонов потенциал). Здесь  $\sigma_n = 2\pi^{n/2} \Gamma(n/2)$  — площадь поверхности единичной сферы в  $n$ -мерном евклидовом пространстве,  $\Gamma$  — гамма-функция (см. Эйлер интегралы).

П. у. фигурирует в обширном круге физ. задач. Ему удовлетворяют: потенциалы ньютоновых (кулоновых) сил, порождённых массами (зарядами), распределёнными в области  $G$  с плотностью  $\rho(x) = f(x)/4\pi$ ; потенциал скоростей идеальной несжимаемой жидкости; характеристики стационарных процессов теплопроводности и диффузии. П. у. возникает также в стационарных задачах теории упругости.

Лит.: Ландау Л. Д., Лифшиц Е. М., Теория поля, 7 изд., М., 1988; и х ж е, Гидродинамика, 4 изд., М., 1988; и х ж е, Теория упругости, 4 изд., М., 1987; Тихонов А. Н., Самарский А. А., Уравнения математической физики, 5 изд., М., 1977; Владимицов В. С., Уравнения математической физики, 5 изд., М., 1988. В. П. Павлов.

**ПУАССОНА ФОРМУЛА** — формула, представляющая единств. классич. решение  $u(x, t)$  Коши задачи для волнового ур-ния

$$\frac{1}{c^2} \frac{\partial^2 u}{\partial t^2} - \frac{\partial^2 u}{\partial x_1^2} - \frac{\partial^2 u}{\partial x_2^2} - \frac{\partial^2 u}{\partial x_3^2} = \frac{1}{c^2} f(x, t),$$

$$u(x, 0) = \phi(x), \quad \left. \frac{\partial u(x, t)}{\partial t} \right|_{t=0} = \pi(x)$$

в трёхмерном пространстве-времени,

$$u(x, t) = \frac{1}{2\pi c} \int_{|y-x|^2 \leq c^2 t^2} \frac{\pi(y) dy}{(c^2 t^2 - |y-x|^2)^{1/2}} + \\ + \frac{1}{2\pi c} \int_{|y-x|^2 < c^2 t^2} \frac{\phi(y) dy}{(c^2 t^2 - |y-x|^2)^{1/2}} + \\ + \frac{1}{2\pi c} \int_0^t d\tau \int_{0 \leq |y-x|^2 < (ct-\tau)^2} \frac{f(y, \tau) dy}{[(ct-\tau)^2 - |y-x|^2]^{1/2}}$$

где  $x$  ( $x = (x_1, x_2)$ ),  $y \in R^2$ ;  $c$  — скорость распространения сигнала; в случае, если начальные данные  $\phi(x)$ ,  $\pi(x)$  — соответственно трижды и дважды непрерывно дифференцируемые ф-ции, а  $f(x, t)$  — дважды непрерывно дифференцируемая ф-ция.

Лит.: Владимицов В. С., Уравнения математической физики, 5 изд., М., 1988. С. В. Молодцов.

**ПУЗЫРЬКОВАЯ КАМЕРА** — прибор для регистрации следов (треков) заряж. частиц, действие к-рого основано на вскипании перегретой жидкости вдоль траектории частицы.

Историческая справка. Д. А. Глейзер (D. A. Glaser) в 1952 в поисках трекового детектора заряж. частиц, более эффективного, чем применявшееся в то время (ядерные фотографические эмульсии, Вильсонова камера и диффузионная камера), обратил внимание на работы К. Л. Висмарса и др. (1922—24). Диэтиловый эфир (в нормальных условиях кипящий при темп-ре  $T = 34,6^\circ\text{C}$ ), нагретый под давлением 20 атм до  $+130^\circ\text{C}$ , распаривали до 1 атм. При этом он не кипел часами. После доведения темп-ры до  $140^\circ\text{C}$  он закипал через произвольные промежутки времени. Глейзер установил, что частота закипания соответствует частоте прохождения космич. частиц на уровне моря. Он повторил эксперимент, расположив над и под колбой с эфиром счётчики Гейгера. Вскипание было мгновенным в присутствии радиоакт. источника. Скоростная киносъёмка установила, что закипание начинается вдоль траектории заряж. частицы.

Первая П. к. (1954) представляла собой металлич. камеру со стеклянными окнами для освещения и фотографирования, заполненную жидким водородом. В дальнейшем П. к. создавались и совершенствовались во всех лабораториях мира, оснащённых ускорителями заряж. частиц. Начиная от колбочки объёмом в 3 см<sup>3</sup>, размер П. к. достиг неск. м<sup>3</sup>, напр. камера СКАТ (ИФВЭ, СССР) 8 м<sup>3</sup>, «Мирабель» (Франция — СССР) 12 м<sup>3</sup>, большая Европейская П. к. (ЦЕРН) более 30 м<sup>3</sup>, П. к. FNAL (Батавия, США) св. 40 м<sup>3</sup>. Большинство П. к. имеют объём  $\sim 1 \text{ m}^3$ . (За изобретение П. к. Глейзеру в 1960 присуждена Нобелевская премия.)

**Образование пузырьков.** Быстрая заряж. частица выбивает на своём пути в веществе электроны разных энергий ( $\alpha$ -электроны). Электроны достаточно больших энергий, удаляясь от траектории, в свою очередь, выбивают вторичные  $\alpha$ -электроны и т. д. В результате многократных столкновений с атомами жидкости  $\alpha$ -электроны тормозятся вблизи траектории и вызывают дополнит. нагрев жидкости в области радиусом  $r$ . Это приводит к образованию центров кипения — зародышей. Образовавшийся зародыш пузырька радиусом  $r$  больше нек-рого критич.  $r_{kp}$  будет расти за счёт испарения окружающей его жидкости во внутр. полости пузырька. Величина  $r_{kp}$  определяется соотношением

$$r_{kp} = \frac{2\sigma}{(p_\infty - p_n)(1 - V_n/V_\infty)}. \quad (1)$$

Здесь  $\sigma$  — поверхностное натяжение жидкости на границе жидкость — пар при темп-ре  $T$ ;  $p_\infty$  — равновесное давление пара над бесконечно плоской поверхностью жидкости;  $p_n$  — давление, при к-ром находится перегретая жидкость;  $V_n$ ,  $V_\infty$  — уд. объёмы жидкости и пара. Разность давлений, называемая перегревом жидкости, осуществляется изменением объёма на величину  $\Delta V/V = (0,5-2)\%$  для разных камер. Время расширения  $\tau_s$ , т. е. время изменения давления от верх. значения  $p_n$ , к-roe на 1,5—2 атм и более превышает  $p_\infty$ , до  $p_n$ , равно 5—20 мс (рис. 1).

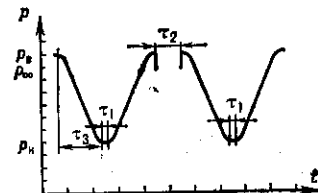


Рис. 1. Схема рабочих циклов пузырьковой камеры:  $\tau_1$  — задержка вспышки света на рост пузырьков;  $\tau_2$  — время между рабочими циклами;  $\tau_4$  — время расширения.